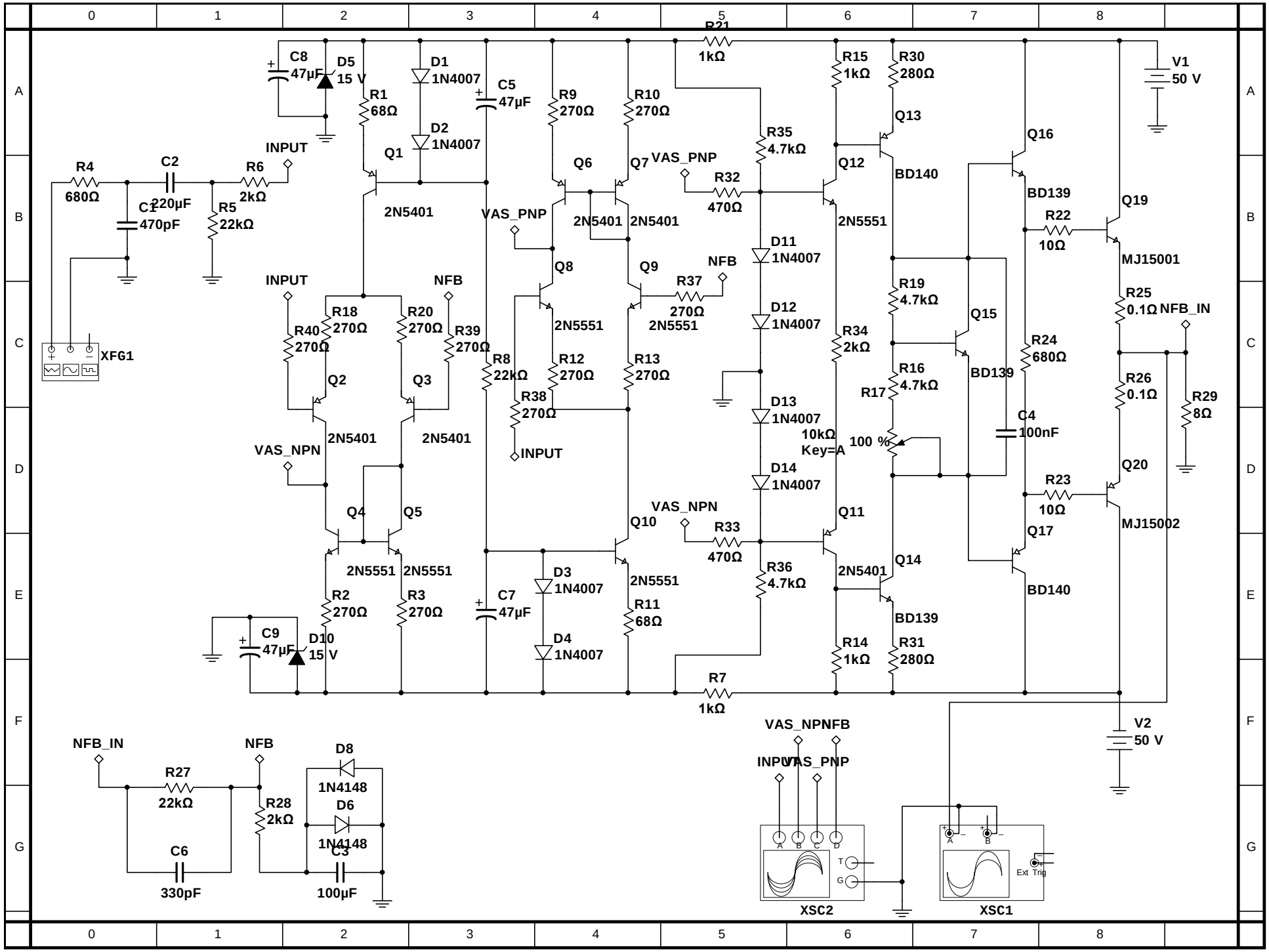
R21
1kΩ
C8
47µF
D5
15 V
D1
1N4007
D2
1N4007
C5
47µF
R1
68Ω
R9
270Ω
R10
270Ω
R15
1kΩ
R30
280Ω
V1
50 V
Q13
Q16
INPUT
R4
680Ω
C2
220µF
C1
470pF
R6
2kΩ
R5
22kΩ
Q1
2N5401
Q6
Q7
VAS_PNP
R32
470Ω
R35
4.7kΩ
Q12
BD140
2N5401
2N5401
2N5551
BD139
Q19
R22
10Ω
MJ15001
VAS_PNP
Q8
Q9
NFB
R37
270Ω
D11
1N4007
D12
1N4007
R19
4.7kΩ
R25
0.1Ω
NFB_IN
INPUT
NFB
R18
270Ω
R20
270Ω
R39
270Ω
R40
270Ω
2N5551
2N5551
R34
2kΩ
Q15
R24
680Ω
XFG1
R8
22kΩ
R12
270Ω
R13
270Ω
R38
270Ω
R16
4.7kΩ
R17
BD139
R26
0.1Ω
R29
8Ω
Q2
Q3
D13
1N4007
C4
100nF
2N5401
2N5401
10kΩ
Key=A
100 %
VAS_NPN
INPUT
D14
1N4007
Q20
R23
10Ω
Q4
Q5
Q10
VAS_NPN
R33
470Ω
Q11
Q17
MJ15002
2N5551
2N5551
D3
1N4007
2N5551
R36
4.7kΩ
2N5401
Q14
R2
270Ω
R3
270Ω
C7
47µF
R11
68Ω
BD140
C9
47µF
D10
15 V
D4
1N4007
BD139
R14
1kΩ
R31
280Ω
R7
1kΩ
V2
50 V
VAS_NPN
NFB
INPUT
VAS_PNP
NFB_IN
NFB
D8
R27
22kΩ
1N4148
R28
2kΩ
D6
1N4148
C6
330pF
C3
100µF
A
B
C
D
T
G
XSC2
A
B
Ext Trig
XSC1